

## Relatório de Atividades – Projeto II

Nesse exercício criou-se uma rede neural convolucional utilizando os frameworks TensorFlow e Keras para a construção e treinamento do modelo. A finalidade desse modelo é a de classificar 8 expressões faciais distintas, a saber: raiva, nojo, medo, feliz, negativa, neutra, triste e surpresa.

A base de dados usada, chamada QIDER, possui 4521 imagens de treinamento e 1346 imagens de validação. Além destas imagens, 8 imagens novas (uma de cada classe) foram utilizadas para testar a performance do modelo gerado. Essas novas imagens foram disponibilizadas juntamente com o código. Elas estão em RGB porém a função `tf.image.decode_jpeg` está configurada para automaticamente converter as imagens carregadas para a escala de cinza se necessário.

### Pre-processamento das imagens

As imagens da base de dados QIDER, além de estarem consideravelmente desbalanceadas, possuem também tamanhos diferentes. O primeiro passo do pré-processamento consiste em redimensionar essas imagens para um tamanho padrão. Testou-se a princípio a função `resize_image_with_crop_or_pad`, que corta imagens grandes e coloca um *padding* em imagens pequenas. Porém, como o tamanho das imagens varia bastante, esse método foi substituído pela função `resize_images`. Todas as imagens foram redimensionadas para o tamanho 96x96.

O próximo passo do pré-processamento consiste em balancear as classes. Para isso, foi criado o método `augment_dataset`, que baseado na distribuição das classes gera novas imagens. As imagens geradas consistem na rotação de cada imagem em 180° ao longo do eixo Y, o que dobra o tamanho do dataset, e posteriormente na adição de um ruído gaussiano nelas, quadruplicando assim o volume de dados. A Tabela 1 mostra a distribuição de classes para a base de treinamento antes e depois do processo de expansão.

|   | C1   | C2   | C3   | C4   | C5   | C6  | C7   | C8   |
|---|------|------|------|------|------|-----|------|------|
| A | 501  | 377  | 336  | 746  | 1618 | 115 | 424  | 404  |
| D | 1618 | 1508 | 1344 | 1618 | 1618 | 460 | 1618 | 1616 |

**Tabela 1:** Distribuição das classes antes (A) e depois (D) da expansão da base de dados. C1, C2, C3, C4, C5, C6, C7 e C8 correspondem respectivamente às classes: raiva, nojo, medo, feliz, negativa, neutra, triste e surpresa.

Mesmo após o processo de expansão, a classe C6, referente a expressões neutras, continua desbalanceada. Para equilibrar isso, implementou-se o método `_class_weights`, o qual calcula um peso para cada classe baseado em sua distribuição. Esse peso é aplicado durante o treinamento do modelo na camada *softmax*, alterando assim a probabilidade de cada classe e evitando que C6 fique muito favorecida em relação às outras. O peso das classes é calculado pela Equação 1:

$$2 - \frac{nc - \min}{\max - \min}$$

**Equação 1:** Calcula o peso de cada classe, onde *nc* corresponde ao número de exemplos da classe *c*, *min* corresponde ao número mínimo de exemplos considerando todas as classes, e *max* corresponde ao número máximo.

A Equação 1 é baseada no processo de normalização, definido pela fração na equação e aqui chamado *norm*. A ideia é normalizar o vetor que indica a distribuição de classes. Isso fará com que cada valor fique entre 0 e 1, onde zero é a classe com menos amostras e 1 a classe com mais amostras. Porém, como a classe com menos amostras deve ter um peso maior e a com mais amostras deve ter um peso menor, foi necessário inverter a lógica da normalização. Por isso o  $1 - \text{norm}$  na equação. Contudo, o peso de uma classe deve ser no mínimo 1. Logo deve-se adicionar 1 ao resultado, e por isso a Equação 1 se reduz à  $2 - \text{norm}$ .

### Organização do código

O código está dividido em 5 scripts diferentes: `cnn_run.py`, `cnn_eval.py`, `cnn_data.py`, `cnn_model.py` e `cnn_params.py`. Escolheu-se fazer isso para modularizar cada parte do processo de treinamento e avaliação do modelo.

O script `cnn_params.py` apenas define os parâmetros do algoritmo, tais como o tamanho das imagens, o número de épocas e as camadas da CNN. `cnn_data.py` é responsável por ler as imagens, processá-las e criar os *datasets* de treinamento, validação e teste. `cnn_model.py` define o modelo. Esse script possui métodos para construir a CNN, treina-la, avalia-la e salva-la. `cnn_run.py` é o script principal. Ele carrega os dados, constrói e treina o modelo, e gera os gráficos de resultado. Por fim, `cnn_eval.py` avalia o modelo na base de testes criada. Ele carrega o modelo treinado e salvo por `cnn_run.py` e avalia o desempenho do mesmo nas novas imagens.

### Arquitetura da CNN

A arquitetura da CNN é definida no script `cnn_params.py`. A rede recebe como entrada uma imagem 96x96x1 em batches de tamanho 32. A Tabela 2 mostra os parâmetros usados em cada camada. Para todas as camadas foi usada a função ReLU como função de ativação e para a camada de saída utilizou-se a função *softmax*.

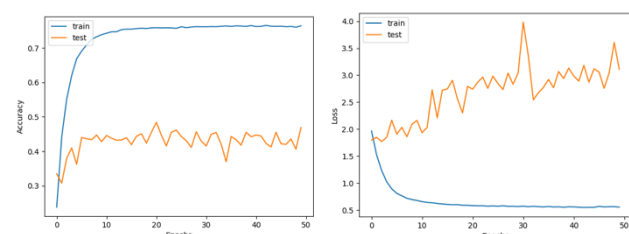
| Camada | #Units | Kernel | Max Pool | Dropout |
|--------|--------|--------|----------|---------|
| Conv1  | 32     | 3x3    | 2x2      | -       |
| Conv2  | 16     | 3x3    | -        | 0.3     |
| Conv3  | 24     | 3x3    | 2x2      | 0.1     |
| Densa1 | 24     | -      | -        | 0.4     |
| Densa2 | 16     | -      | -        | 0.1     |
| Densa3 | 8      | -      | -        | -       |

**Tabela 2:** Arquitetura da CNN. Onde #Units indica o número de unidades. Para as camadas convolucionais ele corresponde aos filtros; para as camadas densas ele corresponde ao número de neurônios. Max Pool corresponde à camada posterior à camada convolucional. Dropout indica a porcentagem de dropout em cada camada. “ - ” indica ausência de uma determinada camada ou etapa.

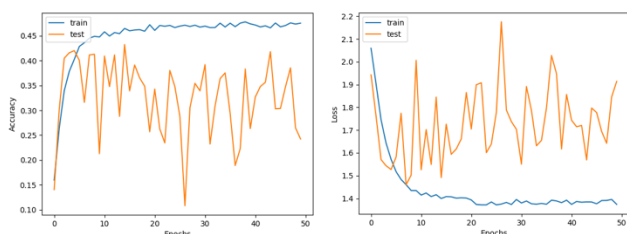
## Resultados e conclusão

Várias arquiteturas de rede foram testadas ao longo deste trabalho, incluindo diferentes números e tamanho de camadas, aplicação ou não de *dropout* e *max\_pooling*, número de épocas, tamanho do batch, tamanho das imagens e balanceamento ou não da base de dados. Neste relatório serão mostrados os resultados do modelo indicado na Tabela 2 com o balanceamento de classes explicado anteriormente.

A partir do modelo descrito na Tabela 2, duas variações foram testadas - com e sem *dropout*. A Figura 1 mostra os resultados da acurácia e erro no treino e teste do modelo sem *dropout*. A Figura 2 mostra o mesmo para o modelo com *dropout*.



**Figura 1:** Acurácia (gráfico à esquerda) e perda (gráfico à direita) do modelo SEM *dropout* ao longo de 50 épocas.



**Figura 2:** Acurácia (gráfico à esquerda) e perda (gráfico à direita) do modelo COM *dropout* ao longo de 50 épocas.

A Tabela 3 resume o resultado da acurácia e da perda para ambos os modelos nas bases de treino, validação e teste. Onde a base de validação corresponde à base disponibilizada para validação, e a base de treino é composta pelas 8 imagens geradas.

|      | SEM Dropout |       |       | COM Dropout |       |       |
|------|-------------|-------|-------|-------------|-------|-------|
|      | Treino      | Valid | Teste | Treino      | Valid | Teste |
| ACC  | 0.764       | 0.469 | 0.250 | 0.475       | 0.242 | 0.375 |
| LOSS | 0.553       | 3.109 | 9.274 | 1.374       | 1.913 | 2.557 |

A partir da análise dos gráficos da Figura 1, observa-se que durante o treinamento a CNN está aprendendo, pois sua acurácia aumenta e seu erro diminui. Porém, esse aumento ou declínio se dá de forma exponencial, o que indica um *overfitting* no modelo. Isso pode ser confirmado ao se observar as curvas da validação. Apesar da acurácia em

treinamento estar aumentando e o erro diminuindo, a acurácia em teste varia em torno de 45% e o erro aumenta a cada iteração. Conclui-se então que a CNN está memorizando a classificação.

Para evitar a memorização, foram acrescentados os *dropouts* em algumas camadas. O resultado pode ser observado na Figura 2. Verificando as curvas de teste, entende-se que as falhas de classificação estão mais coerentes com o treinamento. Porém a classificação ainda é muito instável. Além disso, a acurácia do modelo treinado caiu de cerca de 70% para 50%. Este modelo não pode ser considerado melhor que o primeiro modelo, mas pode ser considerado mais generalista.

A partir da análise da Tabela 3 observa-se que no conjunto de teste o modelo com *dropout* obteve uma performance superior ao primeiro modelo. O que reafirma a hipótese que o segundo modelo é mais generalista. Porém nenhum deles possui uma performance satisfatória, apesar de para todos os casos eles serem melhores que uma classificação aleatória.